

2. Browand F. K., Winant C. D. Blocking ahead of a cylinder moving in a stratified fluid: An experiment // *Geophys. Fluid Dynam.*— 1972.— V. 4, N 1.
3. Baines P. G. A unified description of two-layer flow over topography // *J. Fluid Mech.*— 1984.— V. 146.— P. 127.
4. Baines P. G. A general method for determining upstream effects in stratified flow of finite depth over long two-dimensional obstacles // *J. Fluid Mech.*— 1988.— V. 188.— P. 1.
5. Baines P. G., Guest F. The nature of upstream blocking in uniformly stratified flow over long obstacles // *J. Fluid Mech.*— 1988.— V. 188.— P. 23.
6. Букреев В. И., Гусев А. В., Стурова И. В. Неустановившееся движение круглого цилиндра в двухслойной жидкости // *ПМТФ.*— 1983.— № 6.
7. Букреев В. И., Гусев А. В., Стурова И. В. Генерация внутренних волн при совместном поступательном и колебательном движении цилиндра в двухслойной жидкости // *ПМТФ.*— 1986.— № 3.

6. Новосибирск

Поступила 12/XII 1988 г.

УДК 533.69

Н. Ф. Воробьев

## К ЗАДАЧЕ ОБТЕКАНИЯ СВЕРХЗВУКОВЫМ ПОТОКОМ ТОНКОГО КРЫЛА КОНЕЧНОГО РАЗМАХА С ПОЛНОСТЬЮ ДОЗВУКОВЫМИ ПЕРЕДНИМИ КРОМКАМИ

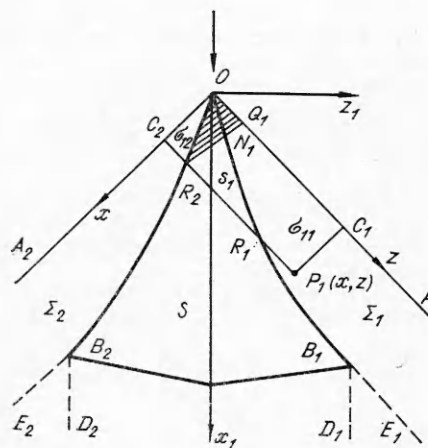
Задача обтекания сверхзвуковым потоком слабоизогнутой несущей поверхности крыла конечного размаха, имеющего дозвуковые кромки при условии, что в носовой части передних кромок есть сверхзвуковой участок, решена Е. А. Красильщиковой [1, 2]. Исходя из условия обращения на части базовой плоскости вне проекции крыла потенциала скорости в нуль задача сводится к двумерному интегральному уравнению Абеля относительно нормальной производной потенциала вне проекции крыла на базовую плоскость. Обращение уравнения Абеля известно. Известно также решение задачи обтекания плоского треугольного крыла с полностью дозвуковыми передними кромками (коническое течение) [3].

При расчетах суммарных аэродинамических характеристик неплоских крыльев с полностью дозвуковыми передними кромками обычно используется прием замены носка крыла плоской треугольной пластиной с дозвуковыми передними кромками (предположение о коничности потока в носовой части крыла) или замены носка с дозвуковыми кромками каким-либо носком со звуковыми кромками, что сводит решение задачи к алгоритму Красильщиковой.

В [4] рассматривалась задача обтекания неплоского крыла с полностью дозвуковыми передними кромками в такой же постановке, как и в [1, 2] для крыла с частично сверхзвуковой передней кромкой (потенциал на базовой плоскости вне проекции крыла равен нулю). Задача сводится к двумерному интегральному уравнению вольтерровского типа относительно потенциала скоростей, решение которого возможно методом последовательных приближений. Нулевое приближение задается произвольно из каких-либо предположений.

В данной работе решение задачи обтекания слабоизогнутого крыла с полностью дозвуковыми передними кромками так же, как и в [1, 4], основывается на условии равенства нулю потенциала возмущений на базовой плоскости вне области проекции крыла. Получено интегральное уравнение второго рода вольтерровского типа относительно определяющего поток параметра — нормальной производной потенциала на базовой плоскости по одну из сторон крыла. Показана возможность решения этого уравнения методом последовательных приближений. Решение представляет собой ряд, члены которого — многократные интегралы от известных функций. Первый член ряда (нулевое приближение) отражает основные закономерности формирования возмущений в рассматриваемой точке. Приведено сравнение определяющего параметра потока, вычисленного в нулевом приближении, с известным точным решением, полученным другим методом в случае коничности потока. Совпадение хорошее в широком диапазоне отклонения передних кромок от звуковых. Проводить вычисление остальных членов ряда (многократных интегралов) нет практической необходимости. Нахождение же первого члена ряда состоит в вычислении однократного и двукратного интегралов от известных функций.

При обтекании сверхзвуковым потоком ( $M > 1$ ) тел, слабовозмущающих набегающий поток, уравнения газовой динамики могут быть сведены к волновому уравнению для потенциала скоростей возмущения



Р и с. 1

$$(1) \quad (M^2 - 1) \Phi_{xx} - \Phi_{yy} - \Phi_{zz} = 0$$

(направление оси  $\bar{x}$ , связанной с телом системы координат, совпадает с направлением скорости набегающего потока на бесконечности). Преобразованием координат  $\bar{x} = x_1 \sqrt{M^2 - 1}$ ,  $\bar{y} = y_1$ ,  $\bar{z} = z_1$  уравнение (1) сводится к

$$(2) \quad \Phi_{x_1 x_1} - \Phi_{y_1 y_1} - \Phi_{z_1 z_1} = 0.$$

Решение задачи обтекания тонкого слабоизогнутого крыла конечного размаха, когда условия на поверхности крыла и на вихревой поверхности за крылом сносятся на базовую плоскость  $y_1 = 0$ , дается формулой [1]

$$(3) \quad \Phi(x_1, y_1, z_1) = -\frac{1}{\pi} \iint_T \Phi'_{\eta_1}(\xi_1, \zeta_1) \frac{d\xi_1 d\zeta_1}{\sqrt{(x_1 - \xi_1)^2 - (z_1 - \zeta_1)^2 - y_1^2}},$$

где  $T$  — область интегрирования на базовой плоскости, вырезаемая характеристическим конусом с вершиной в точке  $(x_1, y_1, z_1)$ ;  $\Phi'_{\eta_1}(\xi_1, \zeta_1)$  — нормальная производная потенциала скорости на базовой плоскости. В задаче обтекания несущей поверхности в части области  $T$  вне проекции крыла  $S$  на базовую плоскость (рис. 1) значение  $\Phi'_{\eta_1}(\xi_1, \zeta_1)$  неизвестно. На части базовой плоскости вне проекции крыла и следа за ним потенциал равен нулю [1]:

$$(4) \quad \Phi(x_1, 0, z_1) = 0, \quad (x_1, z_1) \in \Sigma_i, \quad i = 1, 2$$

( $\Sigma_i$  — область на базовой плоскости, ограниченная головной характеристикой  $OA_i$ , дозвуковой передней кромкой  $OB_i$ , границей вихревого следа за крылом  $B_i D_i$ ). В дальнейшем будем искать решение в части области  $\Sigma_i$ , где не сказывается влияние вихревого следа (в области, ограниченной линиями  $OA_i$ ,  $OB_i$  и характеристической линией  $B_i E_i$ ). Крыло может быть несимметричным относительно плоскости  $z = 0$ :  $z = f(x)$ ,  $x = f^{-1}(z)$  — уравнения проекции на базовую плоскость передней кромки  $OB_1$ ,  $z = \psi(x)$ ,  $x = \psi^{-1}(z)$  — передней кромки  $OB_2$ .

Для точки  $P_i(x, z) \in \Sigma_i$  ( $i = 1, 2$ ) условие (4) с учетом (3) в характеристической системе координат  $x = (x_1 - z_1)/\sqrt{2}$ ,  $z = (x_1 + z_1)/\sqrt{2}$  имеет вид

$$(5a) \quad \int_0^x \int_{f(\xi)}^y \frac{\theta_1(\xi, \zeta) d\xi d\zeta}{\sqrt{(x-\xi)(z-\zeta)}} + \int_0^x \int_{\psi(\xi)}^{f(\xi)} \frac{\alpha(\xi, \zeta) d\xi d\zeta}{\sqrt{(x-\xi)(z-\zeta)}} + \int_0^x \int_0^{\psi(\xi)} \frac{\theta_2(\xi, \zeta) d\xi d\zeta}{\sqrt{(x-\xi)(z-\zeta)}} = 0,$$

$$(5b) \quad \int_0^z \int_{\psi^{-1}(\zeta)}^x \frac{\theta_2(\xi, \zeta) d\xi d\zeta}{\sqrt{(x-\xi)(z-\zeta)}} + \int_0^z \int_{f^{-1}(\zeta)}^x \frac{\alpha(\xi, \zeta) d\xi d\zeta}{\sqrt{(x-\xi)(z-\zeta)}} + \int_0^z \int_0^{f^{-1}(\zeta)} \frac{\theta_1(\xi, \zeta) d\xi d\zeta}{\sqrt{(x-\xi)(z-\zeta)}} = 0,$$

где  $\theta_i(\xi, \zeta) = \Phi'_{\eta_1}(\xi, \zeta)$  — неизвестная в области  $\Sigma_i$  величина;  $\alpha(\xi, \zeta) = \Phi'_{\eta_1}(\xi, \zeta)$  — заданная геометрией несущей поверхности в области  $S$  функция. На рис. 1 для точки  $P_1(x, z) \in \Sigma_1$  показана область зависимости  $T = \sigma_{11} + s_1 + \sigma_{12}$ . Области  $\sigma_{11}$ ,  $s_1$ ,  $\sigma_{12}$  соответствуют областям интегрирования первого, второго, третьего членов соотношения (5a): область  $\sigma_{11}$  ограничена линиями  $R_1 O$ ,  $OC_1$ ,  $C_1 P_1$ ,  $P_1 R_1$ ; область  $s_1$  —  $R_1 R_2$ ,  $R_2 O$ ,

$OR_1$ ; область  $\sigma_{12}-R_2C_2, C_2O, OR_2$ . Перепишем соотношения (5а), (5б) в виде

$$(6a) \quad A_1(\theta_1) + F_1(\alpha) + B_{12}(\theta_2) = 0,$$

$$(6б) \quad A_2(\theta_2) + F_2(\alpha) + B_{21}(\theta_1) = 0.$$

Здесь  $A_i(\theta_i), F_i(\alpha), B_{ij}(\theta_j)$  — первый, второй, третий члены уравнений (5а), (5б).

Интегральный оператор  $A_i(\theta_i)$  является двумерным оператором Абеля по четырехугольной области  $\sigma_{ii}$ , ограниченной проекцией передней кромки, головной характеристикой и характеристическими линиями конуса зависимости точки  $P_i \in \Sigma_i$ . В [5, с. 174, 175] приведена формула обращения такого оператора:  $A_i^{-1}A_i(\theta_i) = \theta_i$ . Применяя оператор  $A_1^{-1}$  к уравнению (6а), получаем

$$(7) \quad \theta_1(x, z) + \frac{1}{\pi \sqrt{z-f(x)}} \left[ \int_{\psi(x)}^{f(x)} \frac{\alpha(x, \zeta) \sqrt{f(x)-\zeta}}{z-\zeta} d\zeta + \int_0^{\psi(x)} \frac{\theta_2(x, \zeta) \sqrt{f(x)-\zeta}}{z-\zeta} d\zeta \right] = 0.$$

Значение  $\theta_1(x, z)$  для точки  $(x, z) \in \Sigma_1$  определяется через  $\Phi_\eta'(x, \zeta)$  на характеристике  $\xi = x$ . На участке этой характеристики, проходящей через проекцию крыла, на линии  $R_2R_1$  ( $\psi(x) \leq \zeta \leq f(x)$ ) значение  $\Phi_\eta'(x, \zeta) = \alpha(x, \zeta)$  задано геометрией крыла. На участке характеристики  $C_2R_2$  ( $0 \leq \zeta \leq \psi(x)$ ) в области  $\sigma_{12}$  значение  $\Phi_\eta'(x, \zeta) = \theta_2(x, \zeta)$  — неизвестная величина.

Если применить оператор  $A_2^{-1}$  к уравнению (6б), то для точки  $(\xi, \zeta) \in \Sigma_2$  имеем

$$(8) \quad \theta_2(\xi, \zeta) + \frac{1}{\pi \sqrt{\xi-\psi^-(\zeta)}} \left[ \int_{f^-(\zeta)}^{\psi^-(\zeta)} \frac{\alpha(\xi', \zeta) \sqrt{\psi^-(\zeta)-\xi'}}{\xi-\xi'} d\xi' + \int_0^{f^-(\zeta)} \frac{\theta_1(\xi', \zeta) \sqrt{\psi^-(\zeta)-\xi'}}{\xi-\xi'} d\xi' \right] = 0,$$

откуда можно найти  $\theta_2(x, \zeta)$  на характеристике  $\xi = x$ :

$$(9) \quad \theta_2(x, \zeta) = \frac{-1}{\pi \sqrt{x-\psi^-(\zeta)}} \left[ \int_{f^-(\zeta)}^{\psi^-(\zeta)} \frac{\alpha(\xi', \zeta) \sqrt{\psi^-(\zeta)-\xi'}}{x-\xi'} d\xi' + \int_0^{f^-(\zeta)} \frac{\theta_1(\xi', \zeta) \sqrt{\psi^-(\zeta)-\xi'}}{x-\xi'} d\xi' \right].$$

Подставляя  $\theta_2(x, \zeta)$  из (9) в (7), получим двумерное интегральное уравнение второго рода вольтерровского типа относительно функции  $\theta_1(x, z)$ :

$$(10) \quad \theta_1(x, z) = \frac{1}{\pi \sqrt{z-f(x)}} \left\{ - \int_{\psi(x)}^{f(x)} \frac{\alpha(x, \zeta) \sqrt{f(x)-\zeta}}{z-\zeta} d\zeta + \frac{1}{\pi} \int_0^{\psi(x)} \int_{f^-(\zeta)}^{\psi^-(\zeta)} \frac{\alpha(\xi, \zeta) \sqrt{[f(x)-\zeta][\psi^-(\zeta)-\xi]}}{(x-\xi)(z-\zeta) \sqrt{x-\psi^-(\zeta)}} d\xi d\zeta + \right.$$

$$+ \frac{1}{\pi} \int_0^{\psi(x)} \int_0^{f^{-1}(\zeta)} \frac{\theta_1(\xi, \zeta) \sqrt{[f(x) - \zeta][\psi^{-1}(\zeta) - \xi]}}{(x - \xi)(z - \zeta) \sqrt{x - \psi^{-1}(\zeta)}} d\xi d\zeta \Big\}.$$

Значение  $\theta_1(x, z)$  в точке  $P_1(x, z) \in \Sigma_1$  определяется через известные значения  $\alpha(\xi, \zeta)$  на характеристике  $R_1R_2$  ( $\psi(x) \leq \zeta \leq f(x)$ ) и на носовой части области зависимости на крыле  $s_1$  (область, ограниченная линиями  $R_2O$ ,  $ON_1$ ,  $N_1R_2$ ) и через неизвестные значения  $\theta_1(\xi, \zeta)$  в носовой части области  $\Sigma_1$  (области, ограниченной линиями  $N_1O$ ,  $OQ_1$ ,  $Q_1N_1$ ) (см. рис. 1). Для  $Q_2(x, z)$  в точке  $P_2(x, z) \in \Sigma_2$  может быть выписано соотношение, аналогичное (10).

Нормальная составляющая скорости  $\theta_1(x, z)$  в области  $\Sigma_1$  при приближении к передней кромке ( $z \rightarrow f(x)$ ) имеет особенность типа  $r^{-1/2}$ . Уравнение (10) запишем как

$$(11) \quad \tau_1 = G_1\alpha + I_1\tau_1, \quad \tau_1(x, z) = \hat{\theta}_1(x, z) \sqrt{z - f(x)}.$$

Функция

$$G_1\alpha = -\frac{1}{\pi} \int_{\psi(x)}^{f(x)} \frac{\alpha(x, \zeta) \sqrt{f(x) - \zeta}}{z - \zeta} d\zeta + \\ + \frac{1}{\pi^2} \int_0^{\psi(x)} \int_0^{\psi^{-1}(\zeta)} \frac{\alpha(\xi, \zeta) \sqrt{[f(x) - \zeta][\psi^{-1}(\zeta) - \xi]}}{(x - \xi)(z - \zeta) \sqrt{x - \psi^{-1}(\zeta)}} d\xi d\zeta$$

выражается через известные на поверхности крыла значения  $\Phi_n' = \alpha$  и для гладких крыльев принадлежит к классу непрерывных функций.

Оценим норму оператора

$$I_1\tau_1 = \frac{1}{\pi^2} \int_0^{\psi(x)} \int_0^{f^{-1}(\zeta)} \frac{\tau_1(\xi, \zeta) \sqrt{[f(x) - \zeta][\psi^{-1}(\zeta) - \xi]}}{(x - \xi)(z - \zeta) \sqrt{[x - \psi^{-1}(\zeta)][\zeta - f(\xi)]}} d\xi d\zeta,$$

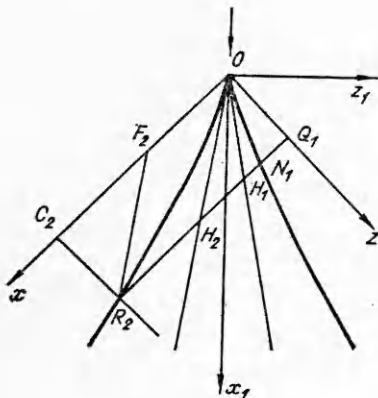
интегрирование в котором производится по криволинейному треугольнику  $N_1OR_1$  в носовой части области  $\Sigma_1$ :

$$\|I_1\| = \frac{1}{\pi} \int_0^{\psi(x)} \left| \frac{\sqrt{f(x) - \zeta}}{(x - \zeta) \sqrt{x - \psi^{-1}(\zeta)}} H(x, \zeta) \right| d\zeta,$$

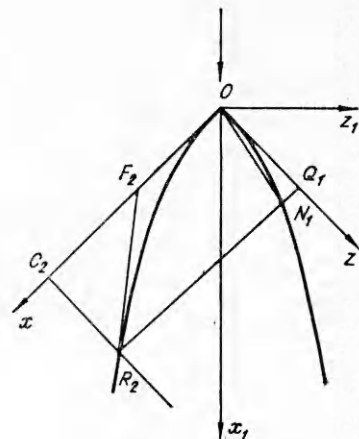
$$H(x, \zeta) = \frac{1}{\pi} \int_0^{f^{-1}(\zeta)} \frac{\sqrt{\psi^{-1}(\xi) - \xi}}{(x - \xi) \sqrt{\zeta - f(\xi)}} d\xi \leq \frac{1}{\pi} \sqrt{\psi^{-1}(\zeta)} \int_0^{f^{-1}(\zeta)} \frac{d\xi}{(x - \xi) \sqrt{\zeta - f(\xi)}}.$$

Заметим, что под интегралом оператора  $I_1$  (в том числе оператора  $H$ ) стоит знакпостоянная положительная функция. При изменениях пределов интегрирования, сделанных для проведения оценок, знакположительность подынтегральных функций и интегралов от них не нарушается.

При проведении оценок следует различать случай вогнутых (рис. 2) и выпуклых (рис. 3) передних кромок. На рис. 2, 3 дан фрагмент носовой части крыла (см. рис. 1). Для вогнутых кромок проведем касательную к передней кромке  $OB_1$  в вершине крыла (линия  $OH_1$ ), уравнение которой  $\zeta = k_{12}\xi$  ( $1 \leq k_{12} \leq \infty$ ). Для выпуклых кромок соединим прямой линией вершину крыла с точкой пересечения  $N_1$  характеристики  $R_2Q_1$  с передней кромкой (уравнение прямой  $ON_1$   $\zeta = k_{13}\xi$  ( $1 \leq k_{13} \leq \infty$ )). В обоих слу-



Р и с. 2



Р и с. 3

чаях  $\zeta = f(\xi) < k_1 \xi$  в рассматриваемом интервале  $0 \leq \zeta \leq \psi(x)$  (координаты точки  $R_2[x, \psi(x)]$ ). С учетом этого

$$H \leq \frac{1}{\pi} \sqrt{\psi^-(\zeta)} \int_0^{\zeta/k_1} \frac{d\xi}{(x-\xi) \sqrt{\zeta - k_1 \xi}} =$$

$$= \frac{1}{\pi} \sqrt{\psi^-(\zeta)} \frac{2}{\sqrt{k_1 x - \zeta}} \operatorname{arctg} \sqrt{\frac{\zeta - k_1 \xi}{k_1 x - \zeta}} \Big|_0^{\zeta/k_1} \leq \sqrt{\frac{\psi^-(\zeta)}{k_1 x - \zeta}}.$$

Таким образом,

$$\|I_1\| \leq \frac{1}{\pi} \int_0^{\psi(x)} \frac{\sqrt{f(x) - \zeta}}{(z - \zeta) \sqrt{x - \psi^-(\zeta)}} \sqrt{\frac{\psi^-(\zeta)}{k_1 x - \zeta}} d\zeta,$$

$$\|I_1\| \leq \frac{1}{\pi} \int_0^{\psi(x)} \frac{\sqrt{k_1 x - \zeta}}{(z - \zeta) \sqrt{x - \psi^-(\zeta)}} \sqrt{\frac{\psi^-(\zeta)}{k_1 x - \zeta}} d\zeta = \frac{1}{\pi} \int_0^{\psi(x)} \frac{\sqrt{\psi^-(\zeta)} d\zeta}{(z - \zeta) \sqrt{x - \psi^-(\zeta)}}.$$

При дальнейшем проведении оценок следует опять различать случай вогнутых (рис. 2) и выпуклых (рис. 3) кромок. Для вогнутых кромок из точки  $R_2[x, \psi(x)]$  проведем прямую  $R_2 F_2$ , уравнение которой  $\xi = -g_{22}(\zeta) = x - [\psi(x) - \zeta]/k_{22}$ ,  $R_2 F_2 \parallel O H_2$  ( $k_{22}$  — тангенс угла наклона касательной к передней кромке  $O B_2$  в вершине крыла). Для выпуклых кромок из точки  $R_2[x, \psi(x)]$  проведем прямую  $R_2 F_2$ , уравнение которой  $\xi = g_{23}(\zeta) = x - [\psi(x) - \zeta]/k_{23}$  ( $k_{23}$  — тангенс угла наклона касательной к передней кромке  $O B_2$  в точке  $R_2$  ( $0 \leq k_{22}, k_{23} \leq 1$ )). В обоих случаях  $\xi = \psi^-(\zeta) \leq g_2(\zeta)$  в рассматриваемом интервале  $0 \leq \zeta \leq \psi(x)$  и, следовательно,

$$\|I_1\| \leq \frac{1}{\pi} \int_0^{\psi(x)} \frac{\sqrt{g_2(\zeta)}}{(z - \zeta) \sqrt{x - g_2(\zeta)}} d\zeta.$$

С учетом того, что  $g_2(\zeta) \leq x$ ,  $x - g_2(\zeta) = [\psi(x) - \zeta]/k_2$ , запишем

$$\|I_1\| \leq \frac{\sqrt{k_2 x}}{\pi} \int_0^{\psi(x)} \frac{d\zeta}{(z - \zeta) \sqrt{\psi(x) - \zeta}} = \frac{\sqrt{k_2 x}}{\pi} \frac{2}{\sqrt{z - \psi(x)}} \operatorname{arctg} \sqrt{\frac{\psi(x) - \zeta}{z - \psi(x)}} \Big|_0^{\psi(x)} \leq$$

$$\leq \sqrt{\frac{k_2 x}{z - \psi(x)}}.$$

В области  $\Sigma_1$   $f(x) \leq z \leq \infty$ , и окончательно имеем оценку

$$(12) \quad \|I_1\| \leq \sqrt{\frac{k_2 x}{f(x) - \psi(x)}}$$

где  $0 \leq k_2 \leq 1$  — максимальное значение тангенса угла наклона передней кромки  $OB_2$  на участке  $0 \leq \xi \leq x$  ( $P_1(x, z) \in \Sigma_1$ ) как для случая вогнутых, так и выпуклых кромок  $OB_2$ .

Необходимым условием сходимости решения уравнения (11) методом последовательных приближений является требование  $\|I_1\| \leq 1$ . Если  $\|I_1\| < 1$ , то единственным решением уравнения (11) будет ряд [6, с. 126, 127]

$$(13) \quad \tau_1 = \sum_{n=0}^{\infty} I_1^n (G_1 \alpha).$$

Рассмотрим границы применимости метода последовательных приближений при проведенных оценках сверху для крыльев, проекции передних кромок которых на базовую плоскость — прямые линии ( $z = k_i x$  — уравнение линии  $OB_i$ ). Согласно (12), необходимое условие сходимости в этом случае имеет вид

$$(14) \quad \|I_1\| \leq \sqrt{\frac{k_2}{k_1 - k_2}} < 1.$$

Для симметричного относительно плоскости  $z = 0$  крыла ( $k_2 = 1/k_1 = 1/k$ ,  $k \geq 1$ ) из (14) следует, что  $k > \sqrt{2}$ . Это соответствует углам стреловидности  $45^\circ \leq \chi \leq 81^\circ$  ( $\chi = 45^\circ$  — звуковая кромка). Для крыла, передняя кромка  $OB_1$  которого направлена по потоку ( $k_1 = 1$ ,  $\chi_1 = 90^\circ$ ),  $k_2 > 1/2$ , что отвечает углам стреловидности  $45^\circ \leq \chi_2 \leq 72^\circ$ . Аналогично для крыла, передняя кромка  $OB_2$  которого направлена по потоку ( $k_2 = 1$ ,  $\chi_2 = 90^\circ$ ),  $k_1 > 2$  (углы стреловидности  $45^\circ \leq \chi_1 \leq 72^\circ$ ). Во всех трех примерах угол при вершине треугольника  $\approx 18^\circ$ . Напомним, что  $k_i$  — тангенсы угла наклона передних кромок — определены в характеристической системе координат  $Oxz$  ( $k = 0$  — ось  $Ox$ ,  $k = \infty$  — ось  $Oz$ ), а углы стреловидности, как обычно, отсчитываются от направления оси  $Oz_1$  исходной системы координат  $Ox_1z_1$  (см. рис. 1).

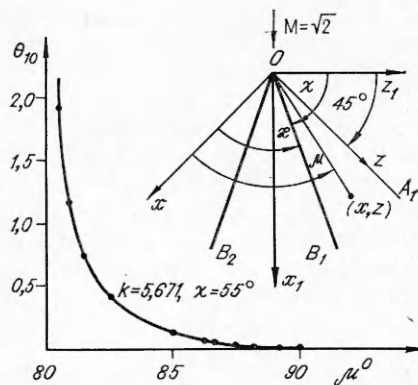
Нулевым приближением решения уравнения (11) является первый член ряда (13)  $\tau_{10}(x, z) = G_1 \alpha$ . Согласно (11), нулевое приближение нормальной производной потенциала скорости на базовой плоскости вне крыла

$$(15) \quad \theta_{10}(x, z) = \frac{G_1 \alpha}{\sqrt{z - f(x)}}, \quad (x, z) \in \Sigma_1.$$

По формуле (15) вычислены  $\theta_{10}$  в случае обтекания плоских треугольных пластин, симметричных относительно плоскости  $z = 0$ , с различными углами стреловидности. Результаты расчетов  $\theta_{10}$  на лучах  $\mu$ , проходящих через точку  $(x, z) \in \Sigma_1$ , для трех пластин  $k = 5,671$ ,  $\chi = 55^\circ$ ;  $k = 2,145$ ,

$\frac{\text{tg } \mu}{\text{tg } \kappa}$	$k=5,671, \chi=55$		$k=2,145, \chi=70$		$k=1,428, \chi=80$	
	$\theta_{10}$	$\theta_1$	$\theta_{10}$	$\theta_1$	$\theta_{10}$	$\theta_1$
1,05	1,923805	1,924042	1,541694	1,552448	0,970179	1,015902
1,1	1,165466	1,165626	0,909604	0,916793	0,535812	0,565723
1,2	0,663620	0,663723	0,500043	0,504623	0,270223	0,288625
4/3	0,416764	0,416836	0,304412	0,307549	0,152776	0,164930
2	0,129256	0,129283	0,087831	0,088978	0,037555	0,041602
8/3	0,069286	0,069302	0,045713	0,046363	0,018403	0,020607
3	0,054871	0,054884	0,035872	0,036393	0,014182	0,015935
4	0,032104	0,032112	0,020624	0,020939	0,007883	0,008914
6	0,015894	0,015898	0,010043	0,010203	0,003722	0,004235
12	0,005152	0,005153	0,003205	0,003258	0,001154	0,001321

$\chi = 70^\circ$ ;  $k = 1,428$ ,  $\chi = 80^\circ$  приведены в таблице. Угол луча  $\mu$  (правая часть рис. 4) задается через значение тангенса угла наклона передней кромки  $\operatorname{tg} \mu = ak$  ( $a = 1,05; 1, 1; \dots; 6; 12$ ). Луч  $\operatorname{tg} \mu = k$  соответствует передней кромке  $OB_1$  ( $k = \operatorname{tg} \chi$ ), луч  $\operatorname{tg} \mu = \infty$  — головной характеристике  $OA_1$ . В левой части рис. 4 дан график  $\theta_{10} = \theta_{10}(\mu)$  для пластины  $k = 5,671$ ,  $\chi = 55^\circ$  ( $\mu = 80^\circ$  отвечает передней кромке  $OB_1$ ,  $\mu = 90^\circ$  — головной характеристике  $OA_1$ ).



Р и с. 4

В таблице приведены также значения  $\theta_1$  на этих же лучах согласно точному решению [7, с. 129]. На передней кромке  $OB_1$  значения  $\theta_{10}$  и  $\theta_1$  имеют особенность  $r^{-1/2}$ , на головной характеристике  $OA_1$   $\theta_{10} = \theta_1 = 0$ . На ближайшем к передней кромке луче ( $\operatorname{tg} \mu = 1,05k$ ) отклонение значения  $\theta_{10}$  от точного решения составляет для пластины  $k = 5,671$ ,  $\chi = 55^\circ$  менее 0,01 %, для  $k = 2,145$ ,  $\chi = 70^\circ$  — менее 1 %, для  $k = 1,428$ ,  $\chi = 80^\circ$  — менее 5 %.

Как и следовало ожидать, с увеличением степени отхода передних кромок от звуковых отклонение нулевого приближения от точного увеличивается. Но даже в случае наиболее узкого из применяемых в практике самолетостроения крыла  $\chi = 80^\circ$  ошибка в 5 % для числа  $M = \sqrt{2}$  в определении схода потока вне крыла при расчете суммарных аэродинамических характеристик будет менее значительной. С увеличением числа Маха ( $M > \sqrt{2}$ ) степень отхода передних кромок от звуковых конкретного крыла с заданным значением угла стреловидности  $\chi$  уменьшается, и расчет аэродинамических характеристик крыла по нулевому приближению становится более достоверным.

#### ЛИТЕРАТУРА

1. Красильщикова Е. А. Крыло конечного размаха в сжимаемом потоке. — М.; Л.: Гостехиздат, 1952.
2. Красильщикова Е. А. Тонкое крыло в сжимаемом потоке. — М.: Наука, 1986.
3. Гуревич М. И. О подъемной силе стреловидного крыла в сверхзвуковом потоке // ПММ. — 1946. — Т. 10, вып. 4.
4. Кузнецов А. В. Сверхзвуковое обтекание тонкого крыла с дозвуковыми кромками // Изв. АН СССР. МЖГ. — 1981. — № 5.
5. Воробьев Н. Ф. Аэродинамика несущих поверхностей в установившемся потоке. — Новосибирск: Наука, 1985.
6. Колмогоров А. Н., Фомин С. В. Элементы теории функций и функционального анализа. Вып. 1. Метрические и нормированные пространства. — М.: Изд-во МГУ, 1954.
7. Аэродинамика частей самолета при больших скоростях/Под ред. А. Ф. Доновна, Г. Р. Лоуренса. — М.: ИЛ, 1959.

г. Новосибирск

Поступила 28/XI 1988 г.,  
в окончательном варианте — 14/II 1989 г.

УДК 532,516

В. Л. Сенницкий

#### О САМОДВИЖЕНИИ ТЕЛА В ЖИДКОСТИ

1. Многие тела (корабли, живые существа) могут совершать самодвижение в жидкости, т. е., находясь в жидкости, перемещаться, отталкиваясь от нее.

© 1990 Сенницкий В. Л.